

# 电治鋁理論基础

中        册

Г.А.阿布拉莫夫 M.M.維丘科夫

И.П.古巴罗 A.A.科斯丘科夫 Л.Н.罗什金 著

邱竹賢 沈时英 譯

**亲爱的读者：**

为了改进我们的出版工作，更好地满足读者的需要，请您在读过本书后，尽量地提出本书内容、装帧、设计、印刷和校对上的错误和缺点，以及对我社有关出版工作各方面的意见和要求。来信请寄：“北京市灯市口甲45号冶金工业出版社”，并请详告您的通讯地址和工作职务，以便经常联系。

**冶金工业出版社**

Г.А.Абрамов, М.М.Ветюков, И.П.Гуцало, А.А.Костюков, Я.Н.Ложкин  
ТЕОРЕТИЧЕСКИЕ ОСНОВЫ ЭЛЕКТРОМЕТАЛЛУРГИИ АЛЮМИНИЯ  
Металлургиздат (Москва-1953)

**电冶铝理论基础（中册）**

**邱竹贤 沈时英 薛**

---

1957年5月第一版 1957年5月北京第一次印刷 2,049册

850×1168·1/32·189,000字·印张7 $\frac{26}{32}$ ·插页3·定价(10)1.40元

冶金工业出版社印刷厂印

新华书店发行

书号 0587

---

**冶金工业出版社出版（地址：北京市灯市口甲45号）**

**北京市书刊出版营业登记证字第093号**

本書為電冶鋁理論方面的專門論著。書中綜合了著者對鋁電解槽中電解質的物理化學性質及電化學性質所做的實驗研究的成果；指出各種因素對冰晶石-氧化鋁熔體電解過程的影響，雜質與添加物對電解質的物理化學性質和電化學性質的影響，以及對電解過程的影響；指明應如何確定鋁電解槽的最好操作條件。

本書供電冶鋁方面的科學研究工作者、研究生和工程師使用，也可供願意加深與擴大自己在電冶鋁理論方面的知識的大学生閱讀。

原書評閱人為烏拉爾鋁廠總工程師 H. JI. 澤諾夫和莫斯科有色金屬學院教授 A. I. 別略耶夫博士。

原書共分三篇：第一篇為電解質的物理化學性質與電化學性質，第二篇為冰晶石-氧化鋁熔體的電解，第三篇為雜質與添加物對電解質的物理化學性質和電化學性質的影響，以及對電解過程的影響。

中譯本分上、中、下三冊出版，中冊由邱竹賢（第一、四章）與沈時英（第二、三、五、六、七章）合譯，上冊與下冊將在中冊出版後陸續出版。

## 中 冊 目 录

### 第二篇 冰晶石-氧化鋁熔体的电解

<b>第一章 分解电压及反电动势</b> .....	6
1. 概論.....	6
2. 在氯化鋁、氯化鈉和氯化鉀混合物熔鹽中的反电动势和 I-E 曲綫.....	21
3. 互換系熔体中的反电动势和 I-E 曲綫.....	33
4. 在 $\text{AlCl}_3 + \text{NaCl} + \text{KCl}$ 混合物熔鹽中以及在互換系熔体中 測得的反电动势和 I-E 曲綫的对比.....	55
5. 关于在炭陽極上析出氯的过电压.....	59
<b>第二章 各种因素对电流效率的影响</b> .....	70
1. 概論.....	70
2. 純熔融鹽电解时的电流效率.....	74
3. 氯化鋁、氯化鈉与氯化鉀混合物电解时的电流效率.....	80
4. 互換系熔体电解时的电流效率.....	87
5. 电流效率分别与陰極电流密度及陽極电流密度的关系.....	103
6. 冰晶石-氧化鋁熔体电解时鋁液与电解質的高度（水平） 對於电流效率的影响.....	112
<b>第三章 陽極效应及其对系列操作电力制度的影响</b> .....	120
1. 陽極效应現象.....	120
2. 影响冰晶石-氧化鋁熔体中的临界电流密度的因素 .....	121
3. 陽極效应的原因和機構.....	124
4. 陽極效应对系列电力工作制度的影响.....	134
<b>第四章 炭在电解槽电解質里的行为</b> .....	140
1. 概論.....	140
2. 炭化鋁在电解質里的生成条件.....	142
3. 炭化鋁的氧化条件.....	147
4. 电解質的含炭条件.....	151
<b>第五章 冰晶石-氧化鋁熔体的电解機構</b> .....	157
1. 概論.....	157

2. 隅極上所进行的反应.....	157
3. 陽極上所进行的反应.....	161
4. 电解时陰陽兩極附近电解質成分的变化.....	164
5. 与冰晶石-氧化鋁熔体电解过程伴生的現象 .....	169
<b>第六章 电解槽最好操作条件的确定.....</b>	<b>174</b>
1. 概論.....	174
2. 电能消耗率及电解槽生产能力与电流密度及極間距离的关系	175
3. 电解槽的电平衡与热平衡之間关系的确定.....	182
4. 在向周圍空間热損失不变的条件下，生产能力及电能消耗 率与电流密度及極間距离的关系.....	193
5. 最好电流密度及最好極間距离与向周圍空間热損失的关系...	204
<b>第七章 电解槽电解質成分的檢查与調整.....</b>	<b>211</b>
1. 概論.....	211
2. 檢查电解質成分的結晶光学法.....	213
3. 用滴定熔融电解質的方法測定 $NaF/A1F_3$ 分子比 .....	236
4. 电解槽中电解質成分的調整.....	239
<b>附录.....</b>	<b>243</b>
<b>参考文献.....</b>	<b>249</b>

# 电治鋁理論基础

中        册

Г.А.阿布拉莫夫 M.М.維丘科夫

И.П.古巴罗 A.A.科斯丘科夫 Л.Н.罗什金 著

邱竹賢 沈时英 譯

**亲爱的读者：**

为了改进我们的出版工作，更好地满足读者的需要，请您在读过本书后，尽量地提出本书内容、装帧、设计、印刷和校对上的错误和缺点，以及对我社有关出版工作各方面的意见和要求。来信请寄：“北京市灯市口甲45号冶金工业出版社”，并请详告您的通讯地址和工作职务，以便经常联系。

**冶金工业出版社**

Г.А.Абрамов, М.М.Ветюков, И.П.Гуцало, А.А.Костюков, Я.Н.Ложкин  
ТЕОРЕТИЧЕСКИЕ ОСНОВЫ ЭЛЕКТРОМЕТАЛЛУРГИИ АЛЮМИНИЯ  
Металлургиздат (Москва-1953)

**电冶铝理论基础（中册）**

**邱竹贤 沈时英 薛**

---

1957年5月第一版 1957年5月北京第一次印刷 2,049册

850×1168·1/32·189,000字·印张7 $\frac{26}{32}$ ·插页3·定价(10)1.40元

冶金工业出版社印刷厂印

新华书店发行

书号 0587

---

**冶金工业出版社出版（地址：北京市灯市口甲45号）**

**北京市书刊出版营业登记证字第093号**

本書為電冶鋁理論方面的專門論著。書中綜合了著者對鋁電解槽中電解質的物理化學性質及電化學性質所做的實驗研究的成果；指出各種因素對冰晶石-氧化鋁熔體電解過程的影響，雜質與添加物對電解質的物理化學性質和電化學性質的影響，以及對電解過程的影響；指明應如何確定鋁電解槽的最好操作條件。

本書供電冶鋁方面的科學研究工作者、研究生和工程師使用，也可供願意加深與擴大自己在電冶鋁理論方面的知識的大学生閱讀。

原書評閱人為烏拉爾鋁廠總工程師 H. JI. 澤諾夫和莫斯科有色金屬學院教授 A. I. 別略耶夫博士。

原書共分三篇：第一篇為電解質的物理化學性質與電化學性質，第二篇為冰晶石-氧化鋁熔體的電解，第三篇為雜質與添加物對電解質的物理化學性質和電化學性質的影響，以及對電解過程的影響。

中譯本分上、中、下三冊出版，中冊由邱竹賢（第一、四章）與沈時英（第二、三、五、六、七章）合譯，上冊與下冊將在中冊出版後陸續出版。

## 中 冊 目 录

### 第二篇 冰晶石-氧化鋁熔体的电解

<b>第一章 分解电压及反电动势</b> .....	6
1. 概論.....	6
2. 在氯化鋁、氯化鈉和氯化鉀混合物熔鹽中的反电动势和 I-E 曲綫.....	21
3. 互換系熔体中的反电动势和 I-E 曲綫.....	33
4. 在 $\text{AlCl}_3 + \text{NaCl} + \text{KCl}$ 混合物熔鹽中以及在互換系熔体中 測得的反电动势和 I-E 曲綫的对比.....	55
5. 关于在炭陽極上析出氯的过电压.....	59
<b>第二章 各种因素对电流效率的影响</b> .....	70
1. 概論.....	70
2. 純熔融鹽电解时的电流效率.....	74
3. 氯化鋁、氯化鈉与氯化鉀混合物电解时的电流效率.....	80
4. 互換系熔体电解时的电流效率.....	87
5. 电流效率分别与陰極电流密度及陽極电流密度的关系.....	103
6. 冰晶石-氧化鋁熔体电解时鋁液与电解質的高度（水平） 對於电流效率的影响.....	112
<b>第三章 陽極效应及其对系列操作电力制度的影响</b> .....	120
1. 陽極效应現象.....	120
2. 影响冰晶石-氧化鋁熔体中的临界电流密度的因素 .....	121
3. 陽極效应的原因和機構.....	124
4. 陽極效应对系列电力工作制度的影响.....	134
<b>第四章 炭在电解槽电解質里的行为</b> .....	140
1. 概論.....	140
2. 炭化鋁在电解質里的生成条件.....	142
3. 炭化鋁的氧化条件.....	147
4. 电解質的含炭条件.....	151
<b>第五章 冰晶石-氧化鋁熔体的电解機構</b> .....	157
1. 概論.....	157

2.	陰極上所进行的反应.....	157
3.	陽極上所进行的反应.....	161
4.	电解时陰陽兩極附近电解質成分的变化.....	164
5.	与冰晶石-氧化鋁熔体电解过程伴生的現象 .....	169
<b>第六章</b>	<b>电解槽最好操作条件的确定.....</b>	<b>174</b>
1.	概論.....	174
2.	电能消耗率及电解槽生产能力与电流密度及極間距离的关系	175
3.	电解槽的电平衡与热平衡之間关系的确定.....	182
4.	在向周圍空間热損失不变的条件下，生产能力及电能消耗 率与电流密度及極間距离的关系.....	193
5.	最好电流密度及最好極間距离与向周圍空間热損失的关系...	204
<b>第七章</b>	<b>电解槽电解質成分的檢查与調整.....</b>	<b>211</b>
1.	概論.....	211
2.	檢查电解質成分的結晶光学法.....	213
3.	用滴定熔融电解質的方法測定 $NaF/A1F_3$ 分子比 .....	236
4.	电解槽中电解質成分的調整.....	239
<b>附录</b>	<b>.....</b>	<b>243</b>
<b>参考文献</b>	<b>.....</b>	<b>249</b>

## 第二篇 冰晶石-氧化鋁熔体的电解

### 第一章 分解电压与反电动势

#### 1. 概 論

所謂分解电压，通常理解为外加於兩極上的，可以長時間在电流强度近於零时进行电解並析出电解产品的最小电压。

分解电压 ( $E_{\text{分解}}$ ) 可以直接用各种實驗方法来測定，也可以根据化合物分解  $\text{MeX} \rightarrow \text{Me} + \text{X}$  的最大功按如下方程式来計算：

$$nFE_{\text{分解}} = A, \quad (1)$$

由此

$$E_{\text{分解}} = \frac{A}{nF}. \quad (2)$$

分解的最大功 (A) 可以直接从吉布斯—蓋姆荷茨方程式算出：

$$A = Q_0 - T \int_0^T \frac{dT}{T^2} - \int_0^T \Sigma C_p dT + T \Sigma j, \quad (3)$$

如已知  $Q_0$ ——当  $T=0$  时  $\text{Me} + \text{X} \rightarrow \text{MeX}$  反应之热效应，以及二重积分值和化学常数  $j$ （以气体状态起反应的物質才有后者）。

当  $T=0$  时，反应之热效应  $Q_0$  可按科希荷夫方程式来計算：

$$Q_0 = Q_T + \int_0^T \Sigma C_p dT, \quad (4)$$

式中

$\Sigma C_p$ ——参与反应的所有物質的真热容量的代数和；原始此为试读，需要完整PDF请访问：[www.ertongbook.com](http://www.ertongbook.com)

物質的热容量帶負号，而生成物質的热容量帶正号。

化学常数  $j$  可从热化学数值手册中查出。

在方程式 (3) 中， $T \int_0^T \frac{dT}{T^2} \int_0^T C_p dT$  式乃是每种物質 ( $MeX$ ,  $Me$  和  $X$ ) 从絕對零度到任一预定溫度  $T$  度时之自由能 (或热力位) 的改变。故此式可以下式代替：

$$T \int_0^T \frac{dT}{T^2} \int_0^T C_p dT = -(Z - Z_0) = -[(H - H_0) - T(S - S_0)], \quad (5)$$

式中

$H - H_0$ ——每一反应物質从絕對零度昇高到既定溫度  $T$  时热含量的改变，而  $S - S_0$ ——每一反应物質从絕對零度昇高到溫度  $T$  时熵的改变。

$$H - H_0 = \int_0^{T_{熔}} C_p 固 dT + \lambda_{熔} + \int_{T_{熔}}^{T_{沸}} C_p 液 dT + \lambda_{沸} + \int_{T_{沸}}^T C_p \infty dT; \quad (6)$$

$$S - S_0 = \int_0^{T_{熔}} \frac{C_p 固}{T} dT + \frac{\lambda_{熔}}{T} + \int_{T_{熔}}^{T_{沸}} \frac{C_p 液}{T} dT + \frac{\lambda_{沸}}{T}$$

$$+ \int_{T_{沸}}^T \frac{C_p \infty}{T} dT. \quad (7)$$

这样，当按方程式 (3) 計算最大功时，任务就在於計算  $Q_0$ 、 $H - H_0$  和  $S - S_0$ 。为此，必須知道每种物質 ( $MeX$ ,  $Me$ ,  $X$ ) 从絕對零度到熔点之間的热容量关系式，以及熔化热和熔点；物質在液体状态从熔点到沸点之間的热容量关系式，以及蒸发热和沸点；物質在气体状态从沸点到任何既定溫度  $T$  之間的热容量关系式。

互換系熔体中各种  
(根据技术百科全書及 L 無机物)

物 賴	溫 度 范 圈 (°K)	真 · 比 热	熔 点 (°K)
NaF	273—1265	$C_P = 9.75 + 4.38 \times 10^{-3}T$	1265
AlF <sub>3</sub>	273—1200	$C_P = 30.9 + 22.18 \times 10^{-3}T$ (換算成 Al <sub>2</sub> F <sub>6</sub> )	不熔
Na <sub>3</sub> AlF <sub>6</sub>	273—837 837—1273	$C_P = 45.40 + 37.00 \times 10^{-3}T$ $C_P = 72.5$	1273
Al <sub>2</sub> O <sub>3</sub>	273—1773	$C_P = 26.29 + 4.23 \times 10^{-3}T$ $- 7.40 \times 10^5 T^{-2}$	2318
Al	273—931.7 931.7—1273	$C_P = 4.80 + 3.22 \times 10^{-3}T$ $C_P = 7.00$	931.7
F <sub>2</sub>	273—2000	$C_P = 8.94 + 0.30 \times 10^{-3}T$ $- 0.90 \times 10^5 T^{-2}$	50
O <sub>2</sub>	273—2000	$C_P = 7.54 + 0.81 \times 10^{-3}T$ $- 0.9 \times 10^5 T^{-2}$	54

\* 根据最近 A.I. 别略耶夫(Беляев)的資料[1]，此值为 402900 卡/克分子。

表 62

物質的热化学常数  
热化学常数的資料，1949年)

熔化热 (卡/克分子)	沸 点 (°K)	蒸發热 (卡/克分子)	热 效 应 (卡/克分子)	轉化热 (卡/克分子)
7000	1968	57000	$\text{Na}_{\text{固}} + \frac{1}{2}\text{F}_2\text{气} = \text{NaF}_{\text{固}} + 135950$	—
—	1533	78000	$\text{Al}_{\text{固}} + \frac{1}{2}\text{F}_2\text{气} = \text{AlF}_3 + 329000$	—
16380	—	—	$3\text{Na}_{\text{固}} + 3\text{F}_2\text{气} + \text{Al}_{\text{固}} = \text{Na}_3\text{AlF}_6_{\text{固}} + 758470$	$\alpha \rightarrow \beta$ 1800
26000	3252	116000	$2\text{Al}_{\text{固}} + \frac{1}{2}\text{O}_2\text{气} = \text{Al}_2\text{O}_3_{\text{固}} + 393300^*$	$\alpha \rightarrow \gamma$ 7800
2500	2077	65000	—	—
230	85.2	1560	—	—
106.8	90.5	1645	—	—

热含量及熵之改变值，可以利用热容量、熔化热和蒸发热的必需数值按方程式（6）及（7）来计算；或者在表中查出（见附录）。

方程式（6）及（7）之积分，通常不用解析法来求，而用图解法。

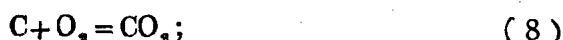
互换系（взаимная система）\* 熔体中各种物质的热容量、熔化热、蒸发热和热效应的数据载于表 62 中。应用这些数据，就可以算出各有关化合物的分解电压。

许多作者根据热力学的数据，计算了在互换系熔体中化合物  $\text{Al}_2\text{O}_8$ 、 $\text{NaF}$  和  $\text{AlF}_8$  的分解电压。所得的数值载于表 63 中。

表 63  
根据热化学数据计算出来的分解电压（在1000°时）

文献来源	分解电压（伏特）		
	$\text{Al}_2\text{O}_8$	$\text{NaF}$	$\text{AlF}_8$
[2]	2.120	4.9	3.7
[3]	2.148	—	—
[4]	2.078	—	—
[5]	2.131	3.18	—
蒲留沃（Проко)	2.180	—	—

载于表 63 中的分解电压数值是属于纯物质的，当时电解产物不与两极起作用。如电解的产物与两极起作用，这特别是在冰晶石-氧化铝熔体电解时，在炭阳极上就要经常起如下反应：



而在炭阴极上有时起如下反应：



\* 又译作交互作用系——译者

在这种情形下，無論在陽極上或在陰極上，都不可避免地要發生反極化作用。

有些作者認為，反應式(8)與(9)的反極化作用值，應絲毫不差地等於按方程式(2)與(3)從自由能計算出來的數值，但這是不符合實際的。

果然，許多作者根據熱化學數據按方程式(2)和(3)計算所得的反應式(8)和(9)的反極化作用的平均值，相應地為0.93和1.04伏特。因而，氧化鋁的分解電壓，當用炭質陽極時，似乎應該減到1.14或1.08伏特，這要看究竟是反應(8)佔優勢，還是反應(9)佔優勢。實際上，從表64中可以看出， $\text{Al}_2\text{O}_3$ 的分解電壓從實驗上求得的數值（波動於1.33至1.78伏特之間）跟計算出來的數值，不論在非炭陽極上（2.1—2.15伏特）並還是在炭陽極上（1.14—1.08伏特）都相差很多。下面將要說明，載於表64中的數值並非 $\text{Al}_2\text{O}_3$ 的分解電壓，亦非互換系熔體中任何其他物質的分解電壓，而是反電動勢的數值，此數值不僅取決於陽極的材料，而且也取決於電流密度與電解質成分。至於反應(8)和(9)怎樣起反極化作用，這一問題將在下面討論它。

表 64

## 關於在炭陽極上熔體分解電壓之數據

文獻來源或研究者	溫度 (°C)	$\text{Al}_2\text{O}_3$ 含量 (%)	分解電壓 (伏特)	备注
蒲留沃	960	—	1.67—1.78	在工業電解槽上
	980	—		
	1000	—	1.43	陽極與陰極空間不分隔
	962	13	1.45	同上
	1028	13	1.33	同上
	1025	16	1.50	同上
	1000	20	1.50	在帶隔板的小電解槽中
	1000	15	1.37	陽極與陰極空間不分隔
B. M. 別林布里特 (Беренблат)	1018	10	1.65—2.04	兩極在石墨套管中

在所有測定熔體分解電壓的實驗方法中，在裝有套管的電極

上测定电池电动势的方法应認為是最正确的。至於用繪取电流-电压曲綫与測量反电动势的方法来从實驗上求分解电压，虽然这些方法仍被採用，但不甚准确。这些方法的不准确性应归咎於当电流通过熔体之际，特别是在熔鹽的混合体中，所發生的極化作用和反極化作用。

發生極化作用則是由於兩極附近离子濃度的改变，而發生反極化作用則是由於在兩極上發生可能的反应（这些反应在上面已講过），以及由於在熔体中存在着溶解的金屬所致。

此外，还可能發生「过电压現象」（явление перенапряжения）。在水溶液电解中析出氢气与氧气的过电压現象已为众所周知，而在熔鹽电解中，过电压現象到目前为止几乎还未被研究过。

在互換系熔体中，由於濃度的改变，例如  $\text{Al}_2\text{O}_3$  濃度的改变，每个电極上極化电压之值可以从下式分別計算出来：

$$\epsilon = \epsilon_{\text{飽}} + \frac{RT}{nF} \ln \frac{C}{C_{\text{飽}}}, \quad (11)$$

式中

$\epsilon_{\text{飽}}$ ——在饱和着氧化鋁的熔体 中的电極电位（伏特），

其中离子的濃度为  $C_{\text{飽}}$ ；

$\epsilon$ ——在所研究的熔体中的电極电位（伏特），其中离子的濃度为  $C$ 。

反極化作用与过电压之值实际上不能計算。所以这些数值仅能在實驗室的甚或在工厂的条件下从實驗上測定。

極化作用与反極化作用的存在，使得反电动势之值不仅區別於純物質的分解电压值(此分解电压或从方程式 (2) 計算得来，或用测定电池的电动势法測量得来)，並使得反电动势值也取决于电流密度、电解質成分、小电解槽的裝置、陽極的材料等等。反电动势 ( $E_{\text{反}}$ ) 与極化电压 ( $E_{\text{極}}$ )、反極化电压 ( $E_{\text{反極}}$ ) 之間的关系可以下式表示之：

$$E_{\text{反}} = E_{\text{分解}} + E_{\text{極}} - E_{\text{反極}}. \quad (12)$$